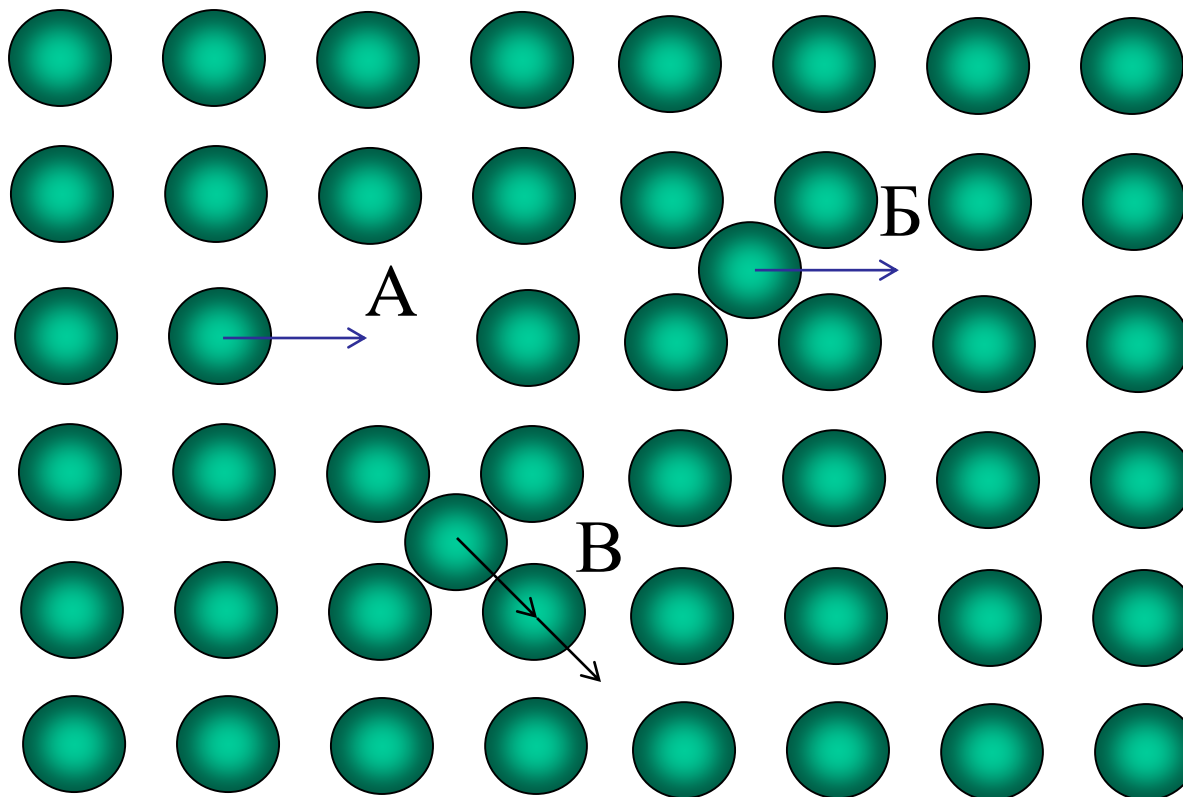


Лекция 13

Диффузия в кристаллах.

Часть 2

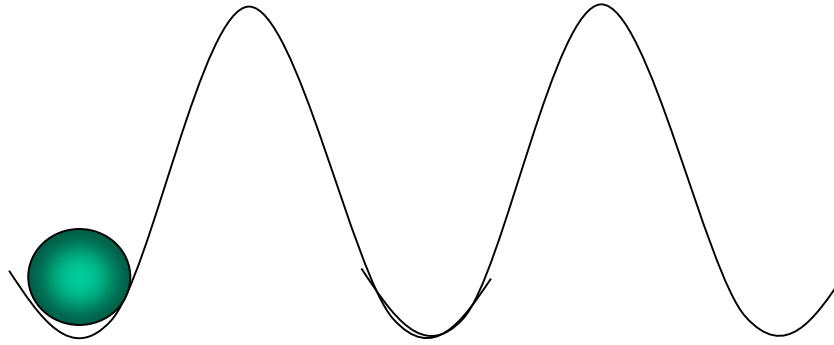
Основные механизмы диффузии в кристаллах



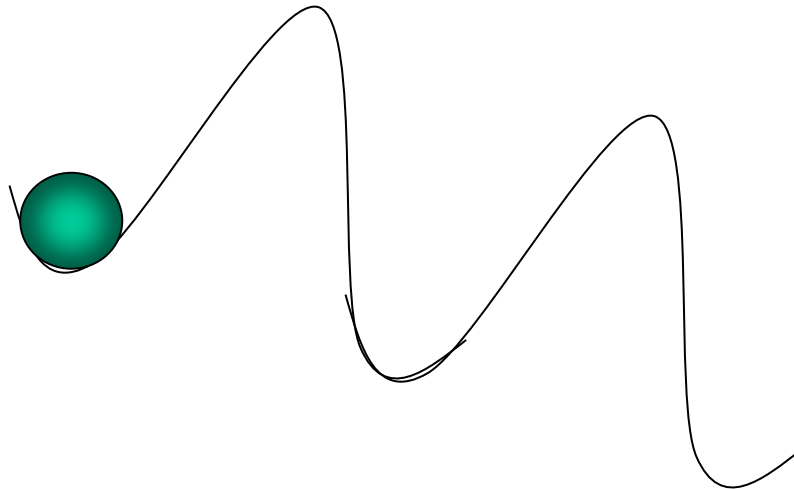
A – вакансионный (наиболее распространенный)

Б – прямой межузельный (пример: С в Fe)

В – не прямой межузельный или эстафетный (пример: Ag_i^\bullet в AgBr)



Хаотическая диффузия – диффузия атомов в кристалле в отсутствии градиента концентрации и внешних сил.



Направленная диффузия – направленное движение атомов в градиенте химического потенциала или внешних сил.

Направленная диффузия

$$j = -C \cdot \frac{D}{k \cdot T} \cdot \frac{\partial \eta}{\partial x}$$

$$\eta = \mu + q \cdot \varphi = \mu_0 + k \cdot T \cdot \ln C + q \cdot \varphi$$

- электрохимический потенциал, μ_0 – независимая от концентрации часть хим. потенциала, C – концентрация, q – заряд, φ – электростатический потенциал

$$\frac{\partial \eta}{\partial x} = \frac{\partial \mu_0}{\partial x} + k \cdot T \cdot \frac{1}{C} \cdot \frac{\partial C}{\partial x} + q \cdot \frac{\partial \varphi}{\partial x}$$

$$j = -C \cdot \frac{D}{kT} \cdot \frac{\partial \mu_0}{\partial x} - D \cdot \frac{\partial C}{\partial x} + C \cdot \frac{D}{kT} \cdot q \cdot E$$

- суммарный поток, где E – напряженность электрического поля.

Диффузия в электрическом поле – ионная проводимость

$$\frac{\partial C}{\partial x} = 0, \frac{\partial \mu_o}{\partial x} = 0$$

$$j = C \cdot \frac{D}{kT} \cdot q \cdot E$$

- поток в электрическом поле

$$i = q \cdot j = \sigma \cdot E \quad \text{- закон Ома, } \sigma \text{ – удельная электропроводность (Ом}^{-1}\text{·см}^{-1}\text{)}$$

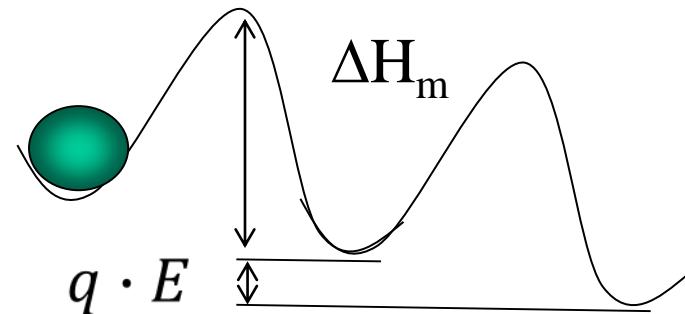
$$\sigma = C \cdot \frac{D}{kT} \cdot q^2 = C \cdot q \cdot \chi$$

$$\chi = \frac{D}{kT} \cdot q \quad \text{- подвижность частицы- соотношение Нерста-Энштейна}$$

$$\sigma = \sum_i^N \sigma_i$$

$$t_i = \frac{\sigma_i}{\sum_i^N \sigma_i}$$

число переноса - это вклад проводимости по данному типу носителей в общую проводимость



В нестехиометрических соединениях преобладает электронная проводимость (по e' или h^\bullet), а в стехиометрических – ионная проводимость (вакансии или междоузельные атомы).

Температурная зависимость ионной удельной электропроводности имеет вид:

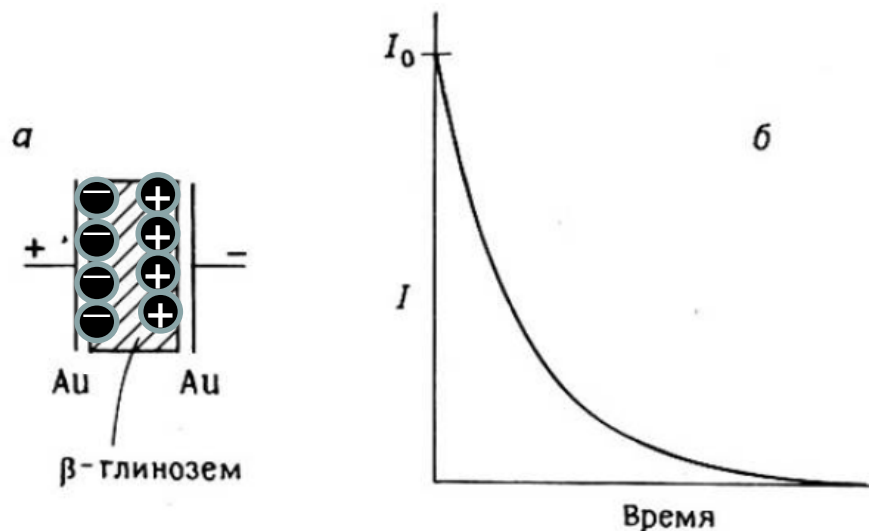
$$\sigma = C \cdot \frac{D}{k \cdot T} \cdot q^2 = C \cdot q^2 \cdot \frac{D_o}{k \cdot T} \cdot \exp\left(-\frac{\Delta H_m}{k \cdot T}\right)$$

$$\sigma \cdot T = \sigma_o \cdot C \cdot \exp\left(-\frac{\Delta H_m}{k \cdot T}\right)$$

$$\ln \sigma \cdot T = \ln \sigma_o + \ln C - \frac{\Delta H_m}{k \cdot T}$$

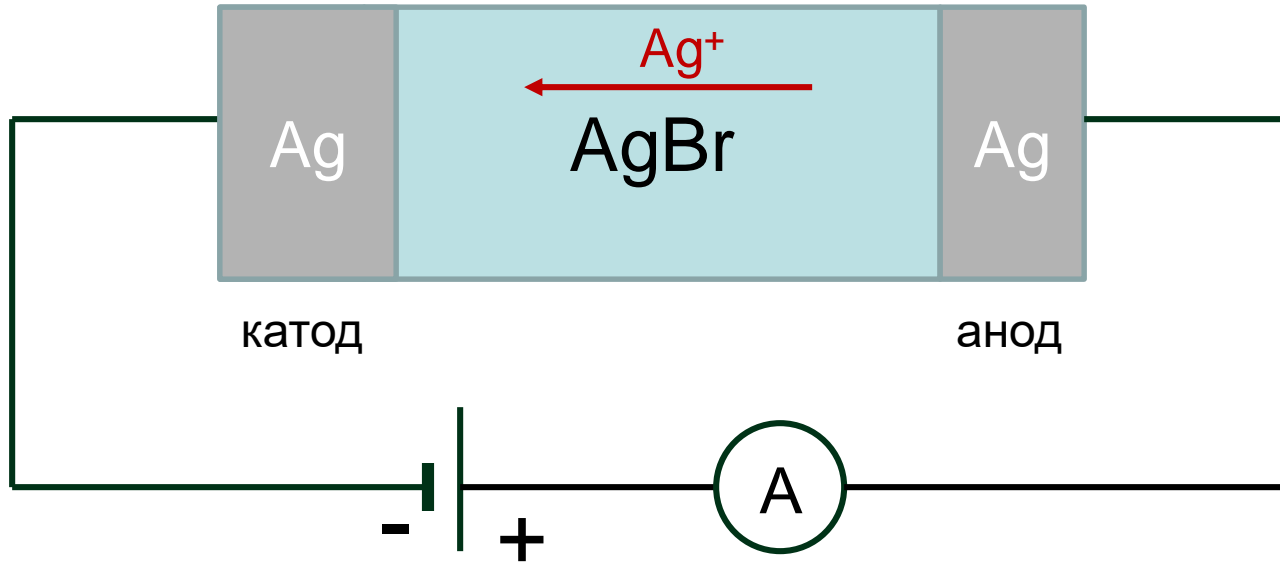
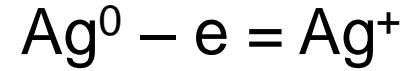
Из измерений ионной проводимости, можно получить информацию о концентрации дефектов и их подвижности.

Измерение свойств (постоянный ток)



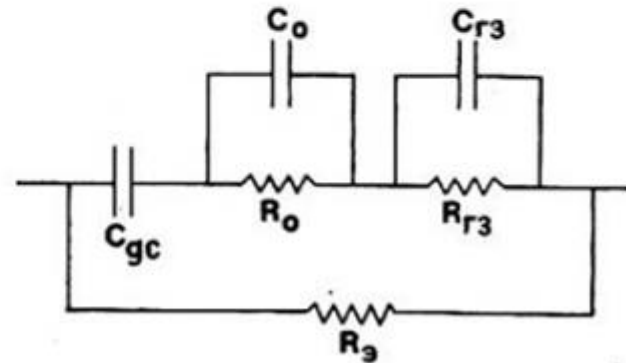
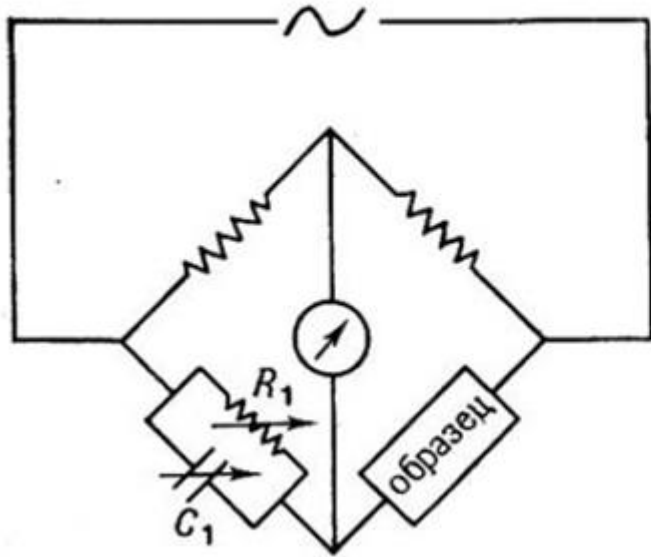
Измерения при постоянном токе приводят к поляризации. Чтобы это не происходило, необходим выбор совместимых электродов, обладающих электрон-ионной проводимостью по подвижным ионам в образце.

Метод Тубанта



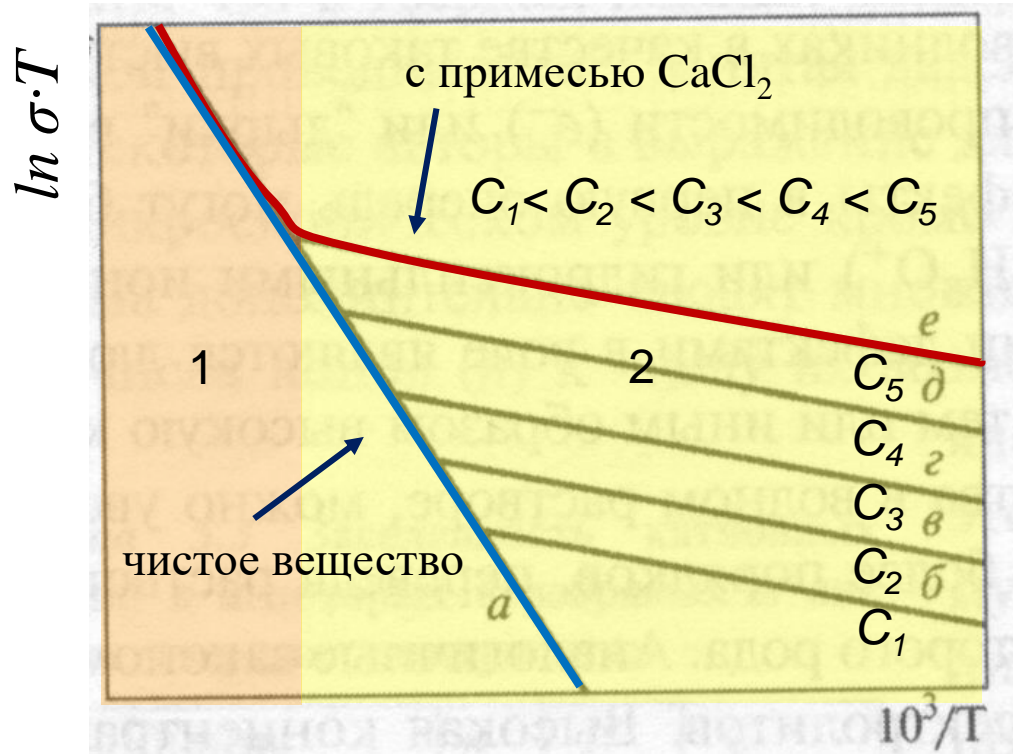
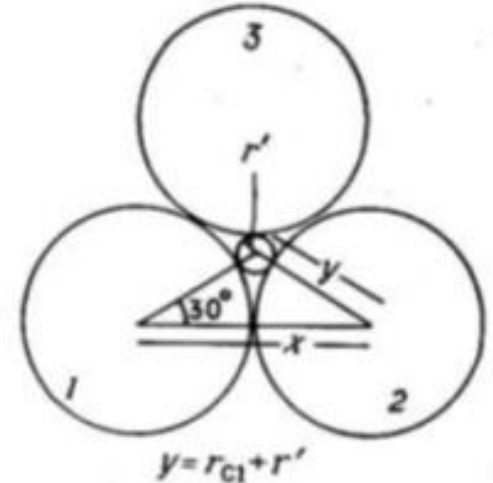
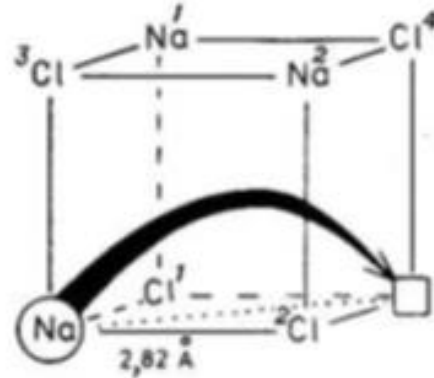
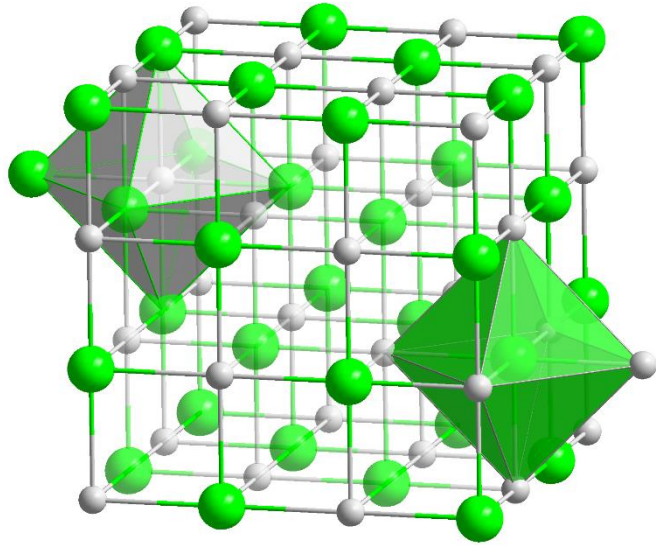
Измерения при постоянном токе с совместимыми электродами, обладающими электрон-ионной проводимостью по подвижным ионам в образце.

Измерение свойств (переменный ток)



Измерения при переменном токе в широком диапазоне частот позволяют определить сопротивление образца, электродную ёмкость, ёмкости и сопротивления границ зёрен и вклад электронной проводимости.

Ионная проводимость хлорида натрия с примесью CaCl_2



Зависимость ионной проводимости от температуры для различных концентраций CaCl_2 .

а- чистое вещество,
б-е – последовательно
увеличивающаяся концентрация
примеси.

**Число переноса катиона равно 1
т.е. ток переносится катионами
натрия.**

Температурная зависимость ионной удельной электропроводности имеет вид:

$$\sigma = C \cdot \frac{D}{k \cdot T} \cdot q^2 = C \cdot q^2 \cdot \frac{D_0}{k \cdot T} \cdot \exp\left(-\frac{\Delta H_m}{k \cdot T}\right)$$

$$\sigma \cdot T = \sigma_0 \cdot C \cdot \exp\left(-\frac{\Delta H_m}{k \cdot T}\right)$$

$$\ln \sigma \cdot T = \ln \sigma_0 + \ln C - \frac{\Delta H_m}{k \cdot T}$$

Температурная зависимость ионной проводимости, определяется температурными зависимостями концентрации дефектов и их подвижности.

Участок 1 - собственная проводимость.

При температурах близких к температуре плавления в кристалле преобладают тепловые дефекты.



В этом случае концентрация носителей заряда – катионных вакансий определяется выражением

$$[V'_{Na}] = \exp(\Delta S / 2R) \cdot \exp\left(-\frac{\Delta H_{III}}{2R \cdot T}\right)$$

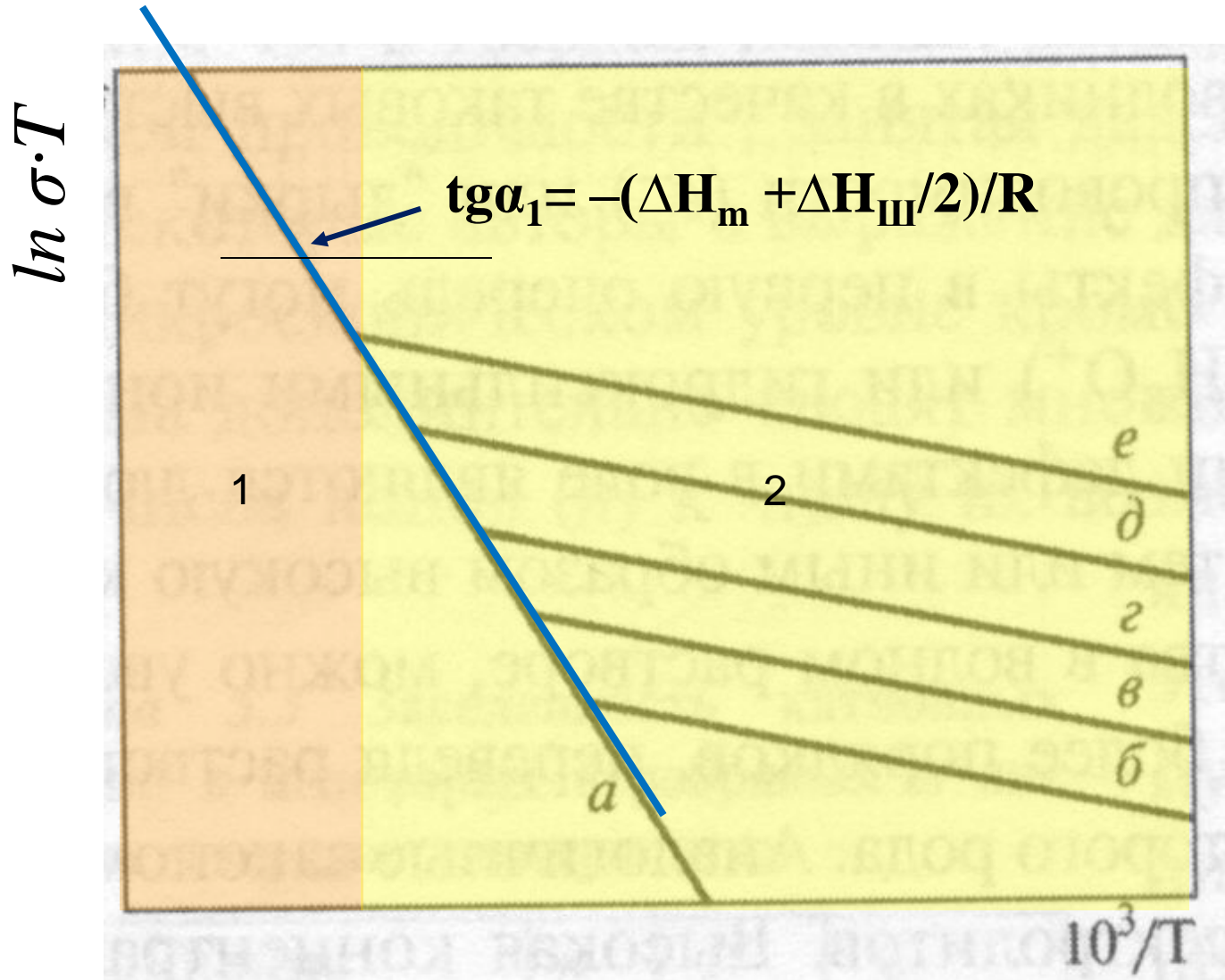
и проводимость равна:

$$\sigma = \frac{\sigma_o}{T} \cdot [V'_{Na}] \cdot \exp\left(-\frac{\Delta H_m}{R \cdot T}\right) = \sigma'_o \cdot \exp\left(-\frac{(\Delta H_m + \Delta H_{III} / 2)}{R \cdot T}\right)$$

$$\ln \sigma \cdot T = \ln \sigma'_o - \frac{(\Delta H_m + \Delta H_{III} / 2)}{R \cdot T}$$

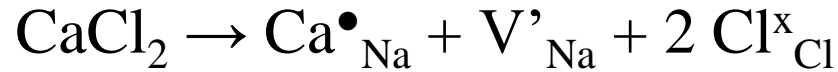
Тангенс угла наклона первого участка будет равен $-(\Delta H_m + \Delta H_{III} / 2) / R$.

Ионная проводимость хлорида натрия с примесью CaCl_2



Участок 2 - примесная проводимость.

Наличие CaCl_2 приводит к образованию катионных вакансий



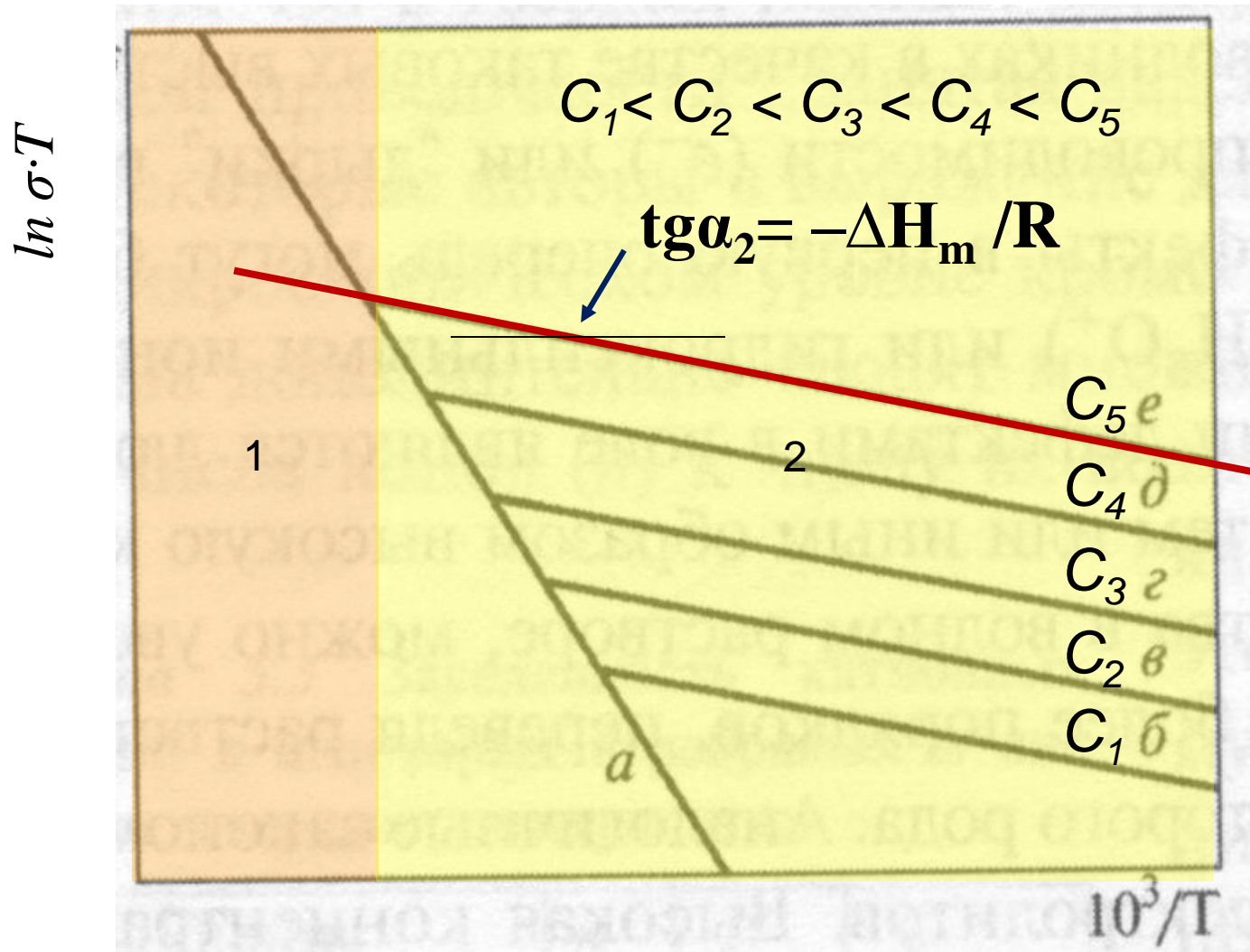
При понижении температуры количество вакансий, образовавшихся в результате введения примесных атомов, может превысить концентрацию собственных тепловых точечных дефектов. В этом случае $[V'_{\text{Na}}] = [\text{Ca}^{2+}]$ и не зависит от температуры.

$$\sigma = \frac{\sigma_o}{T} \cdot [\text{Ca}_{\text{Na}}^{\bullet}] \cdot \exp\left(-\frac{\Delta H_m}{R \cdot T}\right)$$

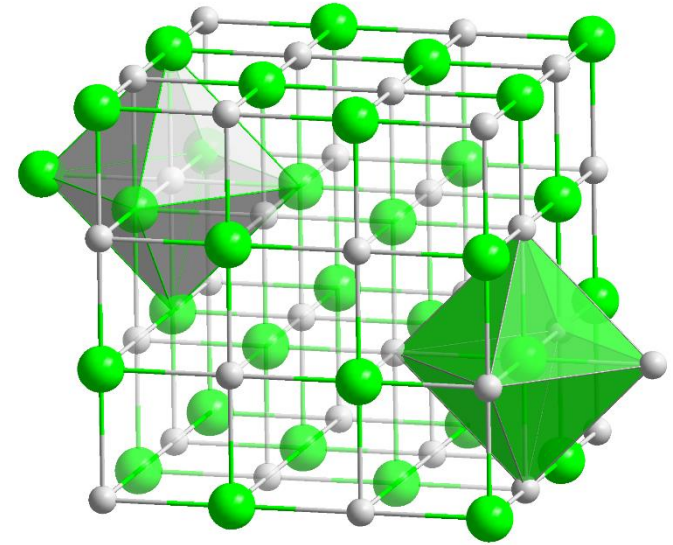
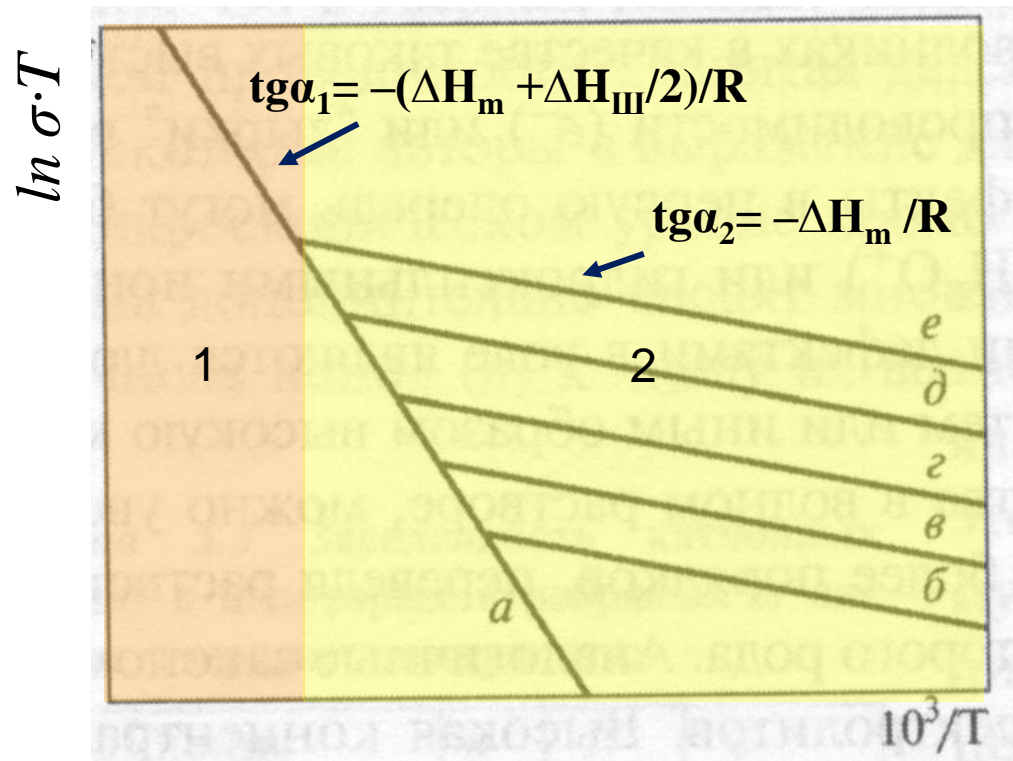
$$\ln \sigma \cdot T = \ln \sigma_o' - \frac{\Delta H_m}{R \cdot T}$$

Тангенс угла наклона второго участка будет равен $-\Delta H_m / R$.

Ионная проводимость хлорида натрия с примесью CaCl_2

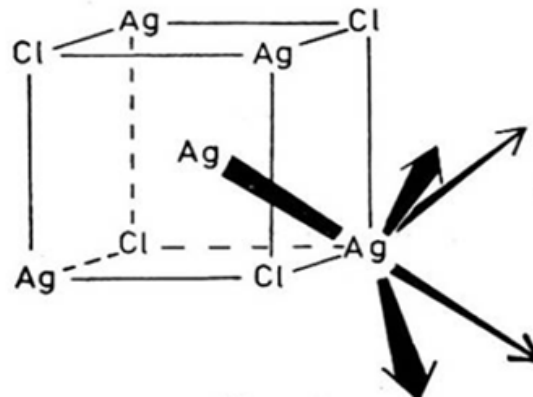
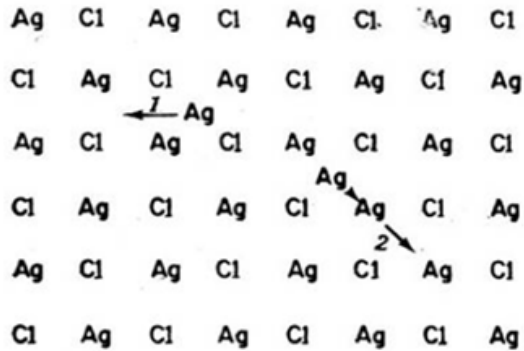
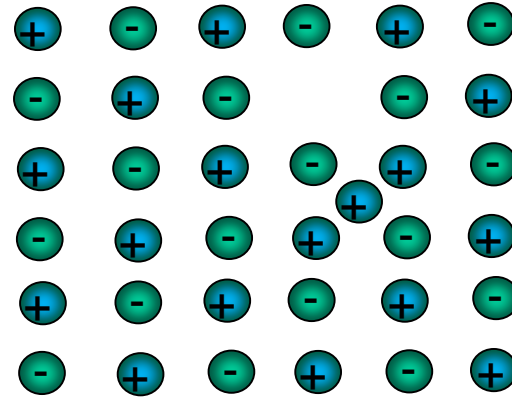
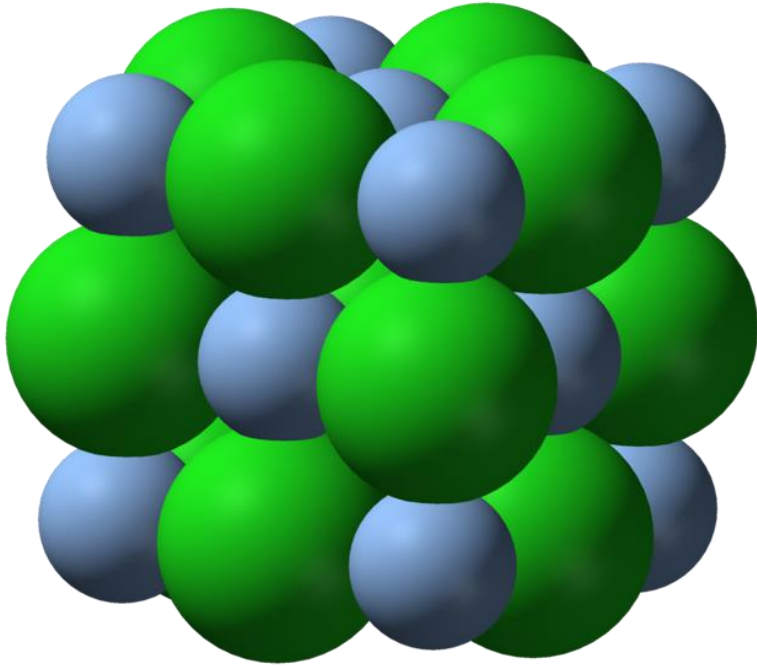


Ионная проводимость хлорида натрия с примесью CaCl_2



Таким образом, из температурной зависимости ионной проводимости в NaCl можно определить энтальпию образования вакансий ΔH_{III} и энтальпию миграции катионных вакансий ΔH_m . Величины ΔH_{III} и ΔH_m определяют концентрацию вакансий и их подвижность.

Хлорид серебра

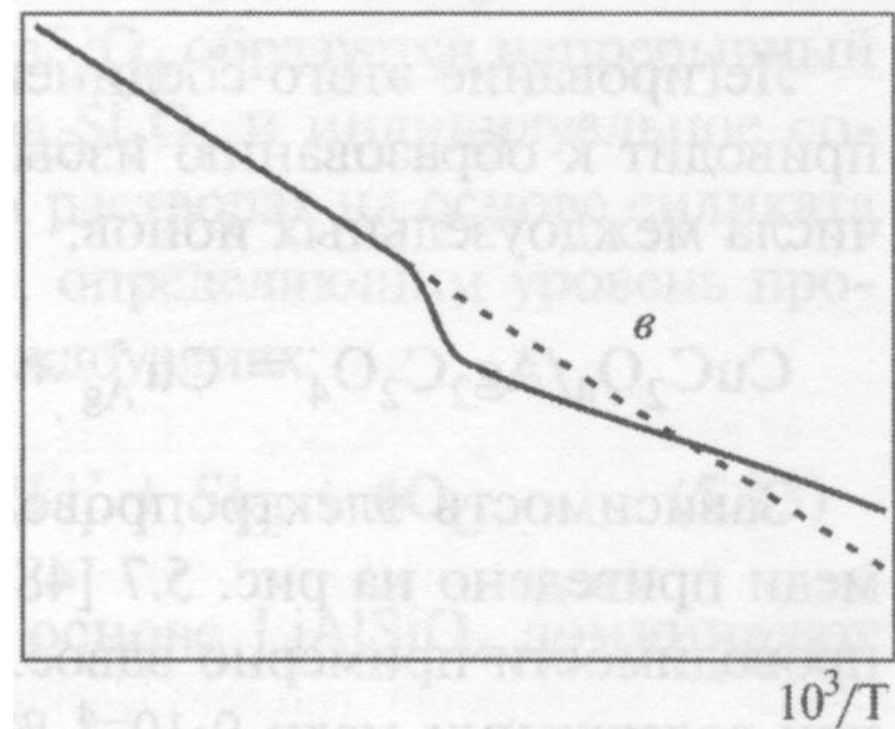
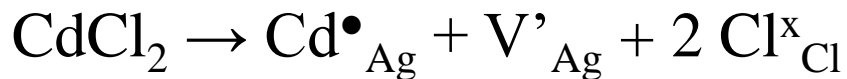
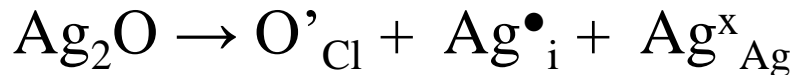


Число переноса катиона равно 1 т.е. ток переносится катионами серебра.

Ионная проводимость AgCl с примесью CdCl_2 . Эффект Коха-Вагнера.



Зависимость проводимости AgCl от концентрации введенной примеси (а – Ag_2O , б – CdCl_2).



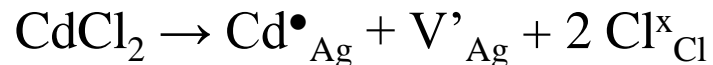
Зависимость проводимости AgCl , допированного CdCl_2 , от температуры.

Эффект Коха - Вагнера

В AgBr ионный перенос происходит за счёт диффузии катионов. Катионы могут диффундировать как по вакансионному, так и межузельному механизму. Каждый из этих диффузионных процессов вносит свой вклад в проводимость кристалла.

$$\sigma = q \cdot ([Ag^{\bullet}_i] \cdot \chi_i + [V'_{Ag}] \cdot \chi_V)$$

Зависимость относительной ионной проводимости в кристаллах AgBr с увеличением концентрации введенной примеси CdBr₂ при постоянной температуре сначала убывает, достигает минимума, а затем начинает увеличиваться. Такая необычная зависимость ионной проводимости от концентрации примесных атомов называется эффектом Коха-Вагнера. Подвижность межузельного серебра выше подвижности катионной вакансии ($\chi_i > \chi_V$). Поэтому в чистом веществе больший вклад в проводимость вносит диффузия межузельного серебра. Замещение ионов серебра ионами кадмия приводит к образованию вакансий серебра.



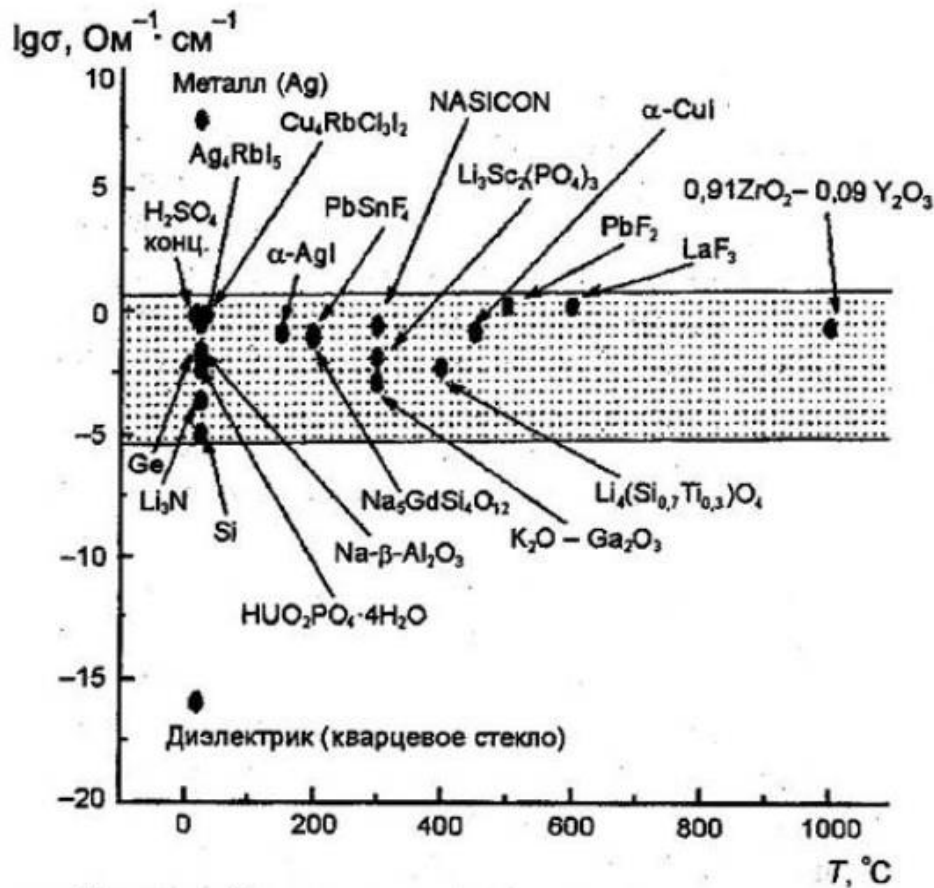
При этом концентрация межузельного серебра уменьшается. Начальное падение проводимости связано с тем, что увеличение вклада в проводимость связанное с повышением концентрации катионных вакансий не может компенсировать уменьшение проводимости, связанное с уменьшением концентрации межузельного серебра. Падение будет происходить до тех пор, пока вклад вакансионного потока в общую проводимость не станет доминирующим. Дальнейшее повышение концентрации примеси приводит к увеличению потока вакансий и общему росту проводимости.

Факторы, определяющие подвижность ионов.

- 1. Дефектность кристалла или свободные позиции в структуре.**
- 2. Заряд иона.** Чем меньше заряд, тем выше подвижность.
- 3. Размер иона.** Чем меньше размер, тем выше подвижность.
- 4. Поляризуемость.** Поляризуемость увеличивает подвижность.
- 5. Координационный полиэдр.** Уменьшение координационного числа и силы связи увеличивает подвижность.
- 6. Размер и поляризуемость противоиона.** Чем больше размер и поляризуемость противоиона, тем выше подвижность.

Соединение	ΔH_D , кДж/моль калия	Соединение	ΔH_D , кДж/моль хлора
KCl	207	KCl	216
KBr	122	RbCl	193
KI	62	CsCl	122

Уровни проводимости



Выделенный сектор представляет важную с практических позиций область значений проводимости.

$$\sigma_i = C_i \cdot q_i \cdot \chi_i$$

(концентрация * заряд * подвижность)

$$\sigma = \sum \sigma_{\text{ионн}} + \sum \sigma_{\text{электр}}$$

Важнейшие величины:

- абсолютная величина проводимости,
- кажущаяся энергия активации,
- рабочий интервал.

Электронная проводимость, $\text{Ohm}^{-1} \cdot \text{cm}^{-1}$

Металлы:	$10^{-10} - 10^5$
Полупроводники:	$10^{-5} - 10$
Диэлектрики:	10^{-12}

Ионная проводимость, $\text{Ohm}^{-1} \cdot \text{cm}^{-1}$

Растворы/электролиты:	$10^{-3} - 10$
Твердые электролиты:	$10^{-3} - 10$
Ионные кристаллы:	$10^{-18} - 10^{-4}$

Особенности твердых электролитов

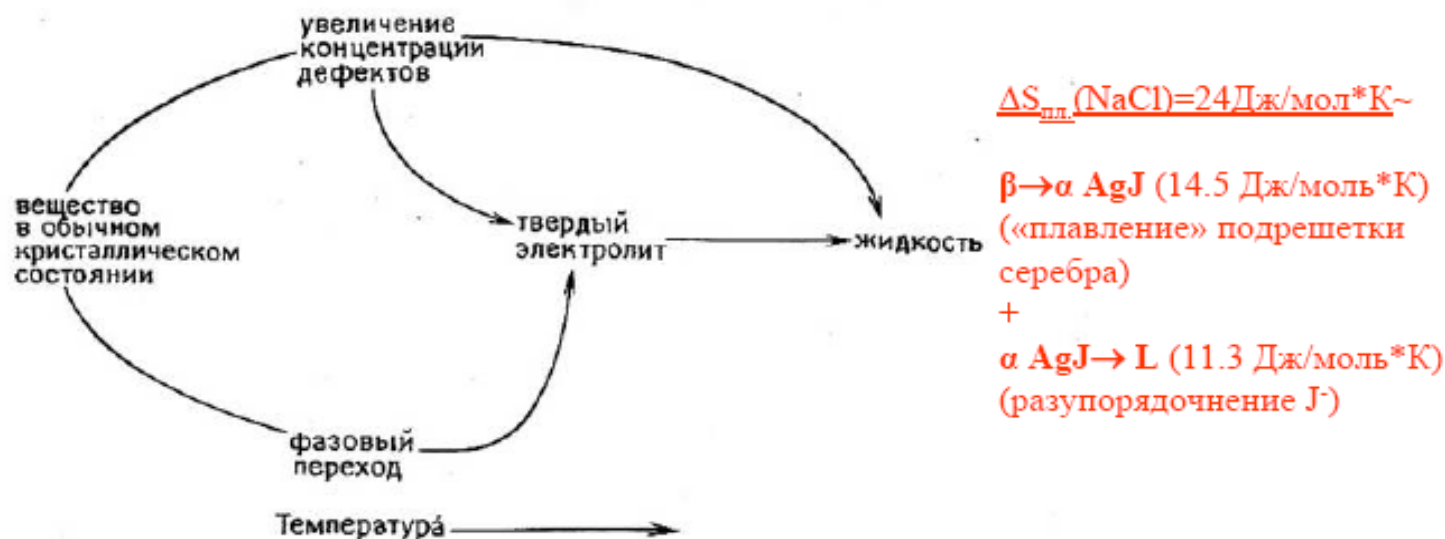
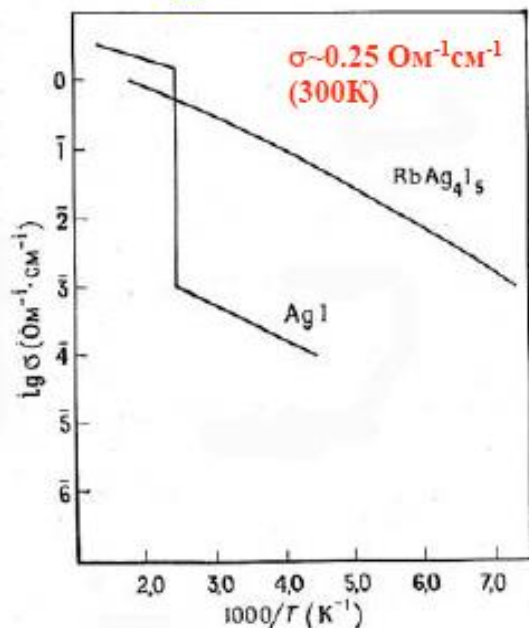


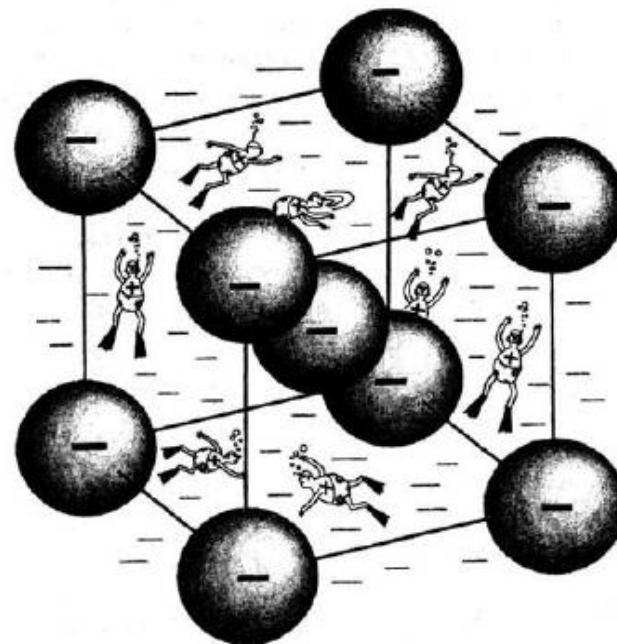
Рис. 13.9. Положение твердых электролитов относительно обычных кристаллических веществ и жидкостей.

Отличие от жидких электролитов: твердые электролиты представляют собой вещества, промежуточные по структуре и свойствам между нормальными кристаллическими твердыми телами с регулярной трехмерной структурой, построенной из «неподвижных» атомов или ионов, и жидкими электролитами, не имеющими регулярной структуры, но обладающими подвижными ионами.

1914 – Тубанд и Лоренц обнаружили резкое увеличение проводимости после $\beta \rightarrow \alpha$ превращения в AgI.



$$T_{\beta \rightarrow \alpha} = 146 \text{ } ^\circ\text{C}$$

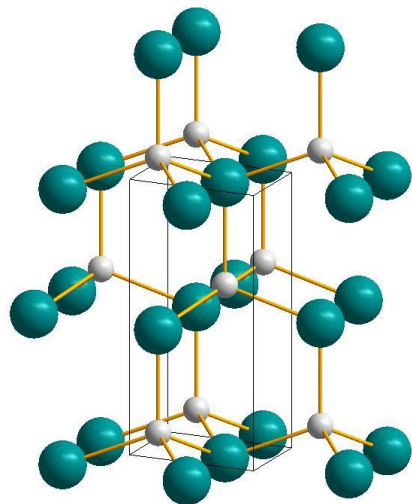


Схематическое изображение "расплавленной катионной подрешетки" серебра в модельном кристалле α -AgI (крупные шары — анионы иода).

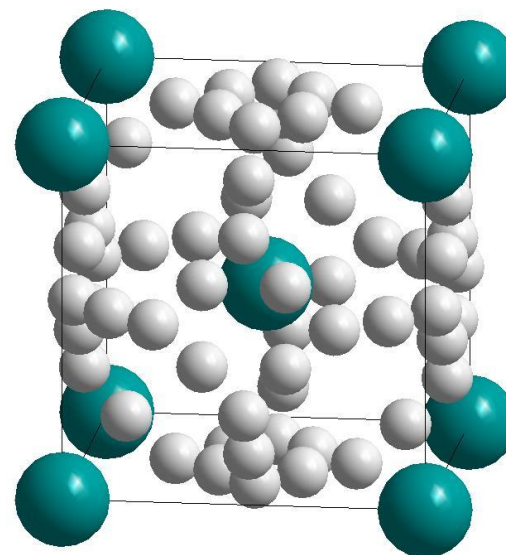
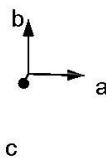
Рис. 13.16. Ag^+ -ионная проводимость в AgI и RbAg_4I_5 .

α AgI – проводимость $\sim 1 \text{ Ом}^{-1}\text{см}^{-1}$ ($>146^\circ\text{C}$), энергия активации проводимости: 0.05 эВ. Структура благоприятна для свободного движения Ag^+ - I- образуют объемцентрированный куб, а Ag^+ статистически располагаются в тетраэдрических позициях (36 позиций на ячейку), легко перемещаясь между ними.

Фазовый переход в AgI



β -фаза
 $P6_3mc$



α -фаза
 $Im-3m$

	wyск	x/a	y/b	z/c	S.O.F.
I	2 a	0.	0.	0.	1.
Ag1	12 d	0.25	0.	0.5	0.0967
Ag2	24 h	0.385(7)	0.385(7)	0.	0.035

Cooper M. J., Sakata M. Acta Crystallographica A, 35(1979) 989-991

β - глинозем (структура)

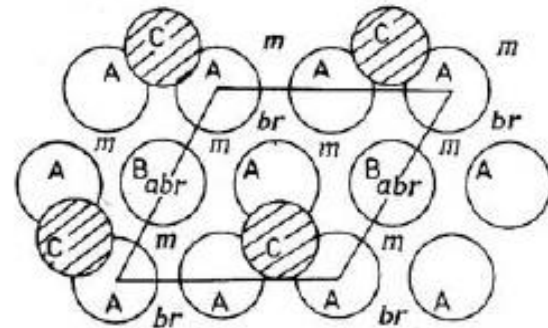
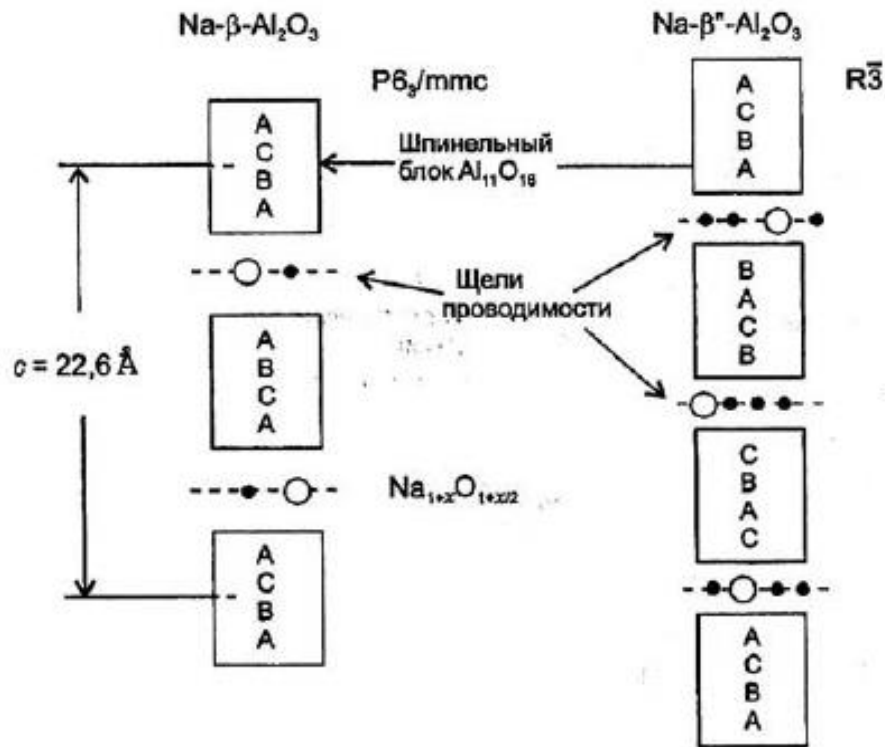
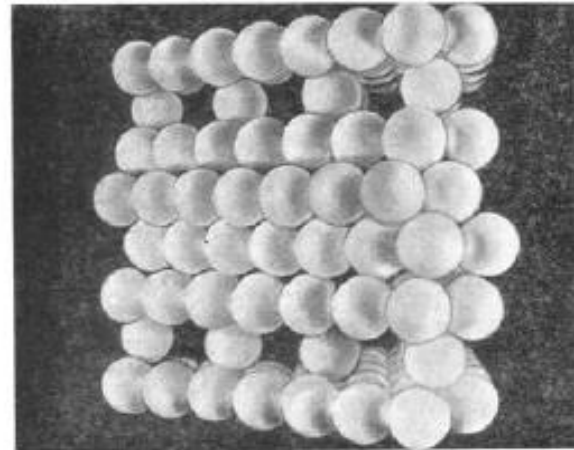
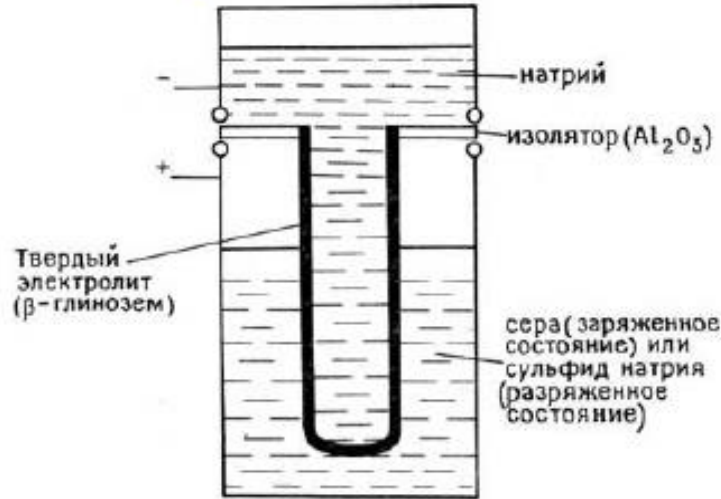


Рис. 13.13. Плоскость проводимости в β-глиноземе.



β - глинозем (применение)



Суммарная реакция ячейки: $2Na + 5S \rightleftharpoons Na_2S_5$ 2,08В

Рис. 13.30. Серно-натриевая ячейка с твердым электролитом

- термодинамика т/ф реакций,
- натрий-серные батареи,
- э/х детекторы и регуляторы содержания натрия в амальгамах,
- гальванические ячейки для очистки сплавов (от натрия и др.)

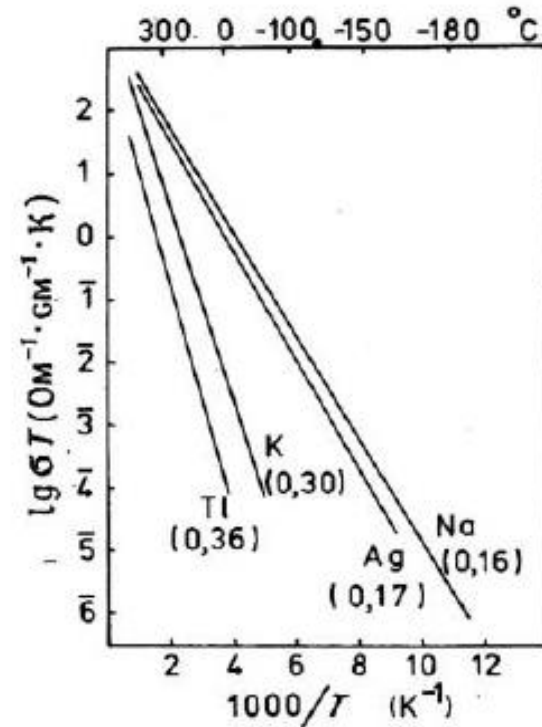
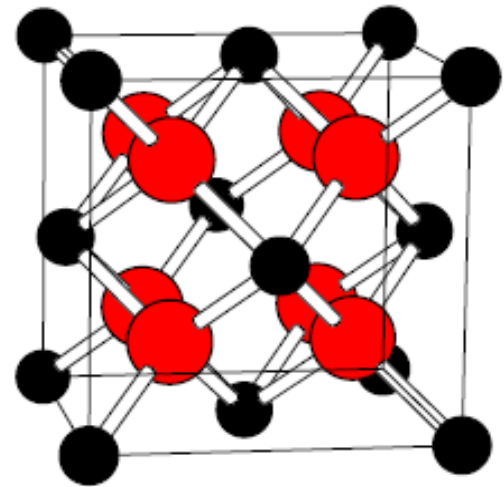
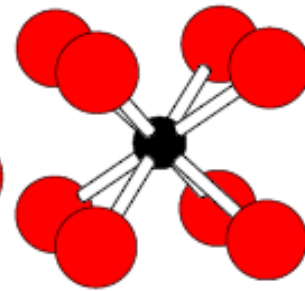
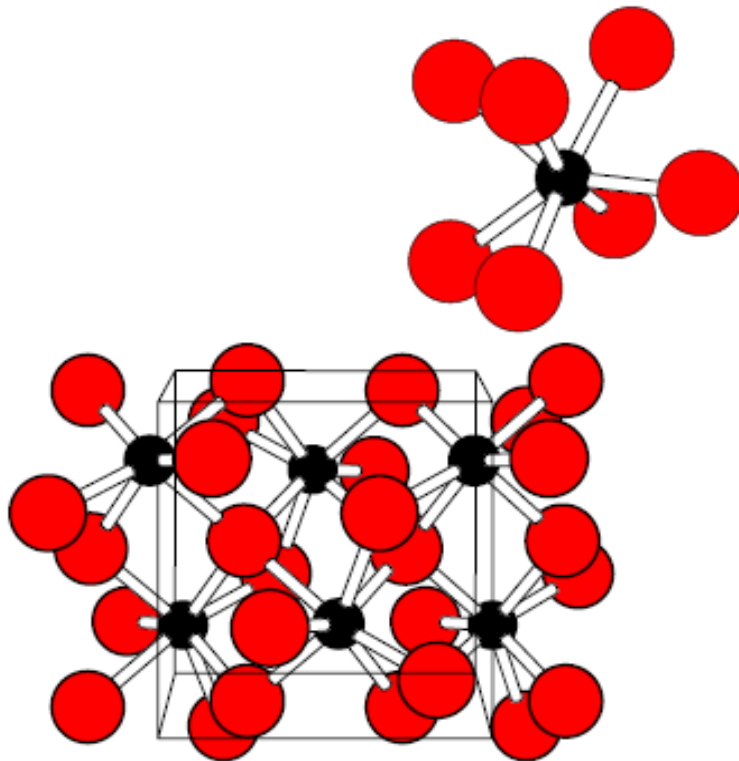


Рис. 13.14. Проводимость монокристаллов некоторых замещенных форм β -глинозема. В скобках указаны соответствующие значения энергий активации в электронвольтах [12].

Фазовые переходы ZrO_2

Низкотемпературная моноклинная
модификация ($P2_1/c$), КЧ(Zr) = 7,
4 + 3 – для O^{2-}

Высокотемпературная кубическая
модификация ($Fm\bar{3}m$), КЧ(Zr)=8,
тетраэдры - для O^{2-}

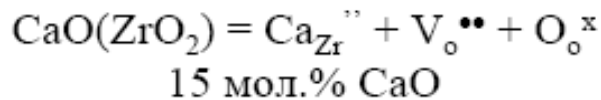


Температурные диапазоны

Легирование ZrO_2 ($Zr_{1-x}Y_xO_{2-x/2}$, $Zr_{1-x}Ca_xO_{2-x}$):

- Рост концентрации анионных вакансий (низковалентный катион)
- Стабилизация кубической модификации (крупные катионы)

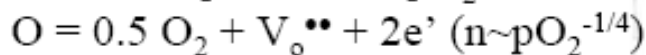
Возможно также замещение Zr на катион с большим ионным радиусом (Ce^{4+}) для стабилизации кубической структуры, или более низковалентным катионом (Bi^{3+}) для увеличения концентрации вакансий.



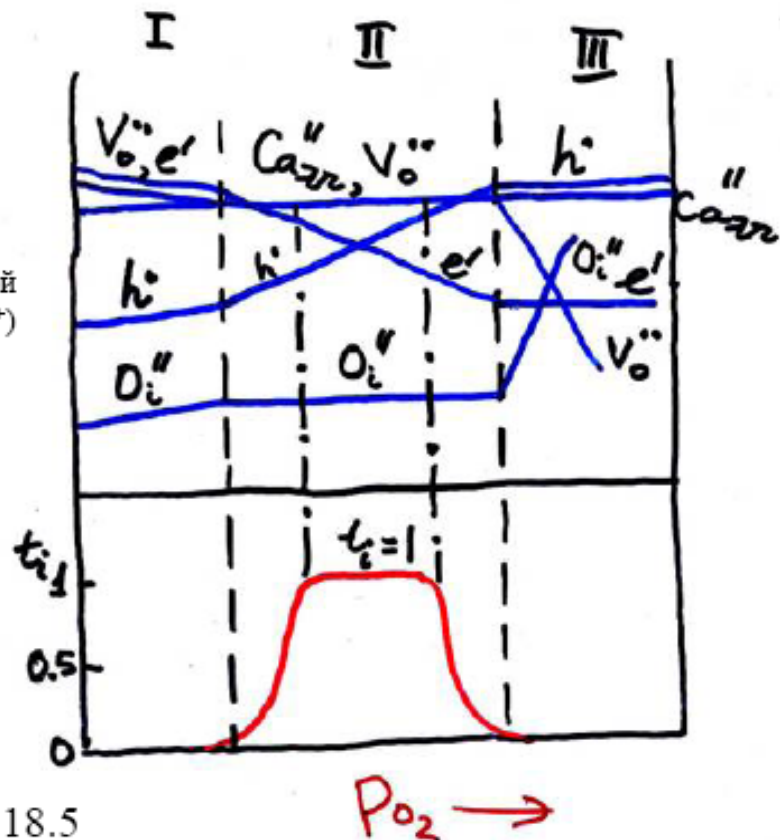
$$t_i = \sigma_i / (\sigma_i + \sigma_e + \sigma_h)$$

$$O = e' + h^* (n \sim pO_2^{1/4})$$

При низких pO_2



$$t_i > 0.99, \text{ если } \lg(pO_2(\text{Па})) > -60500/T + 18.5$$



Кислородные сенсоры

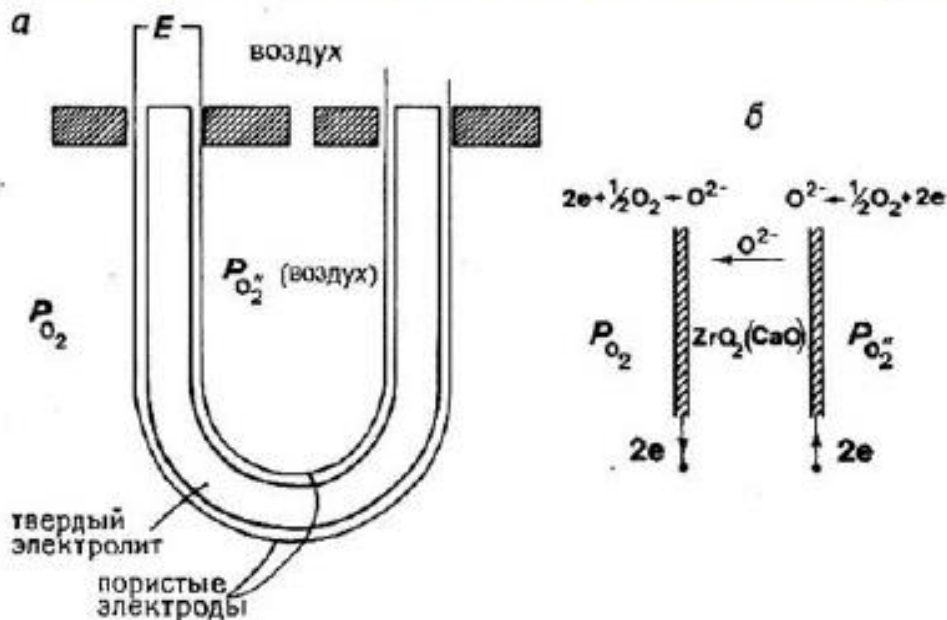


Рис. 13.32. Кислородная концентрационная ячейка с твердым электролитом из стабилизированного диоксида циркония.

$$V = (RT/4F) \ln\left[\frac{P_{O_2}(\text{эталон})}{P_{O_2}(\text{образец})}\right]$$

p_{O_2} в анализируемой газовой атмосфере может быть определено из измеряемой э.д.с. по уравнению Нернста. Из-за низкой величины ионной проводимости диапазон рабочих температур может быть выше 650 °С.

$R=8.31$ Дж/моль*К, $F=96485.33$ Кл/моль – постоянная Фарадея.

Топливные элементы

Топливные элементы производят электрический ток и тепло путем «электрохимического» взаимодействия газообразного топлива (водород, метан, синтез-газ и пр.) и газа-окислителя через твердый электролит при повышенных температурах ~ 800-1000 °С.

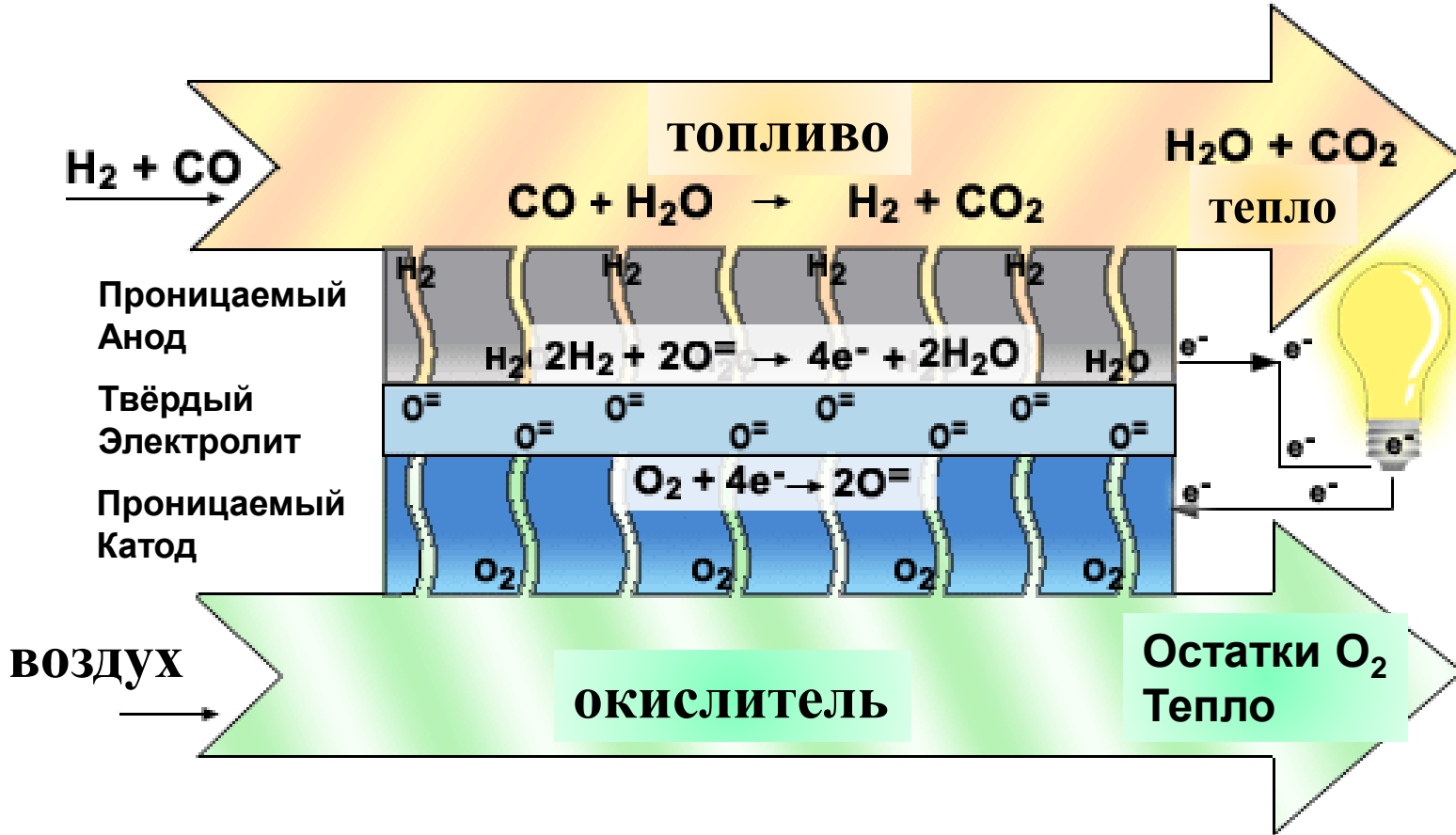
Типичные реакции -

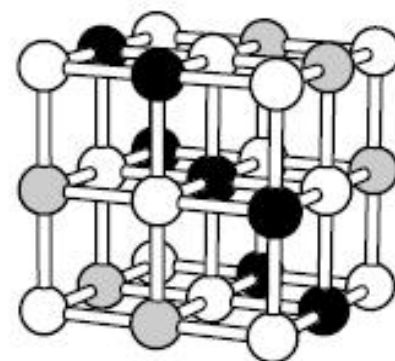


Преимущества -

- высокий КПД
- оптимизированное выделение CO_2
- прямое производство электрической энергии

Топливный элемент

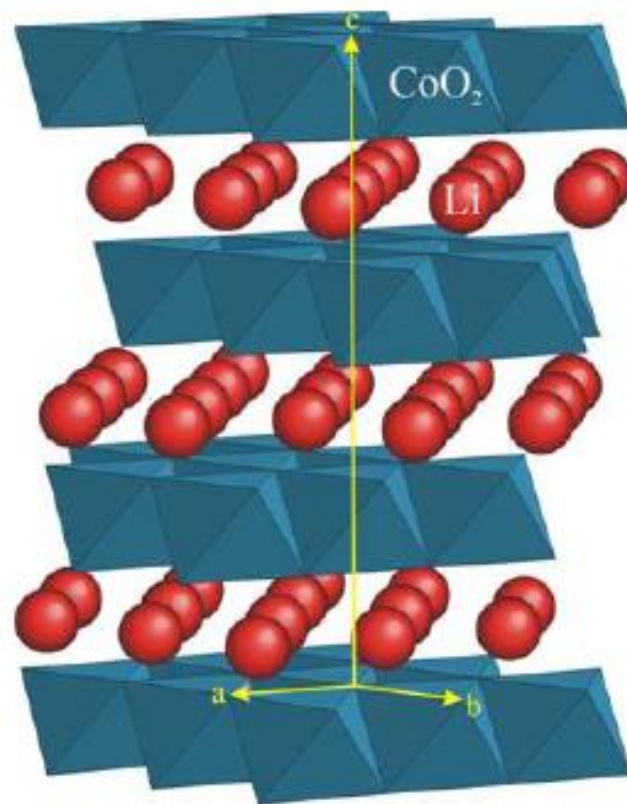




- Структуры типа LiMO_2 – упорядоченные вдоль чередующихся в направлении (111) слоев производные от структуры каменной соли.

Кобальтит лития в гексагональных координатах имеет ячейку $a \sim 2.81 \text{ \AA}$, $c \sim 14.1 \text{ \AA}$. Октаэдры CoO_6 связаны попарно ребрами и образуют отрицательно заряженные слои CoO_2 , которые стабилизированы и экранированы слоями октаэдрически координированных ионов лития, которые могут свободно перемещаться в плоскости слоя, обратимо интеркалироваться и деинтеркалироваться в структуру ($0 \leq x \leq 0.5$) с одновременным изменением формальной степени окисления кобальта $\text{Co}^{3+} / \text{Co}^{4+}$.

- Хороший электронный проводник
- Емкость $\sim 45 \text{ А-ч/кг}$
- Напряжение $\sim 3.7 \text{ В}$
- Плотность энергии $\sim 165 \text{ Вт-ч/кг}$
- Кобальт относительно дорог (по сравнению с Ti, Ni и Mn).

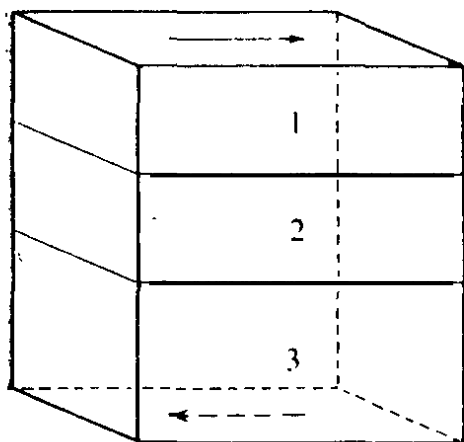
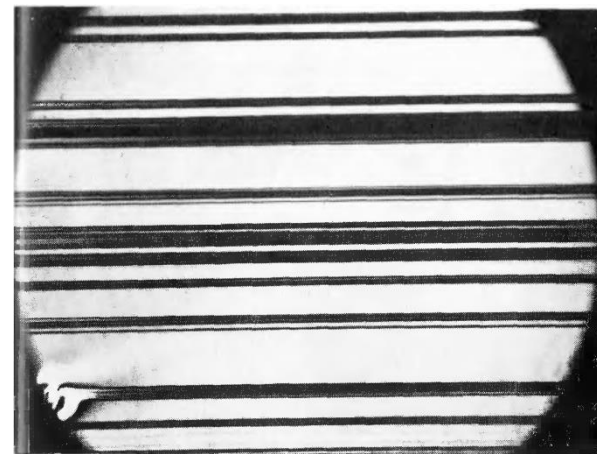


Дефекты в кристаллах

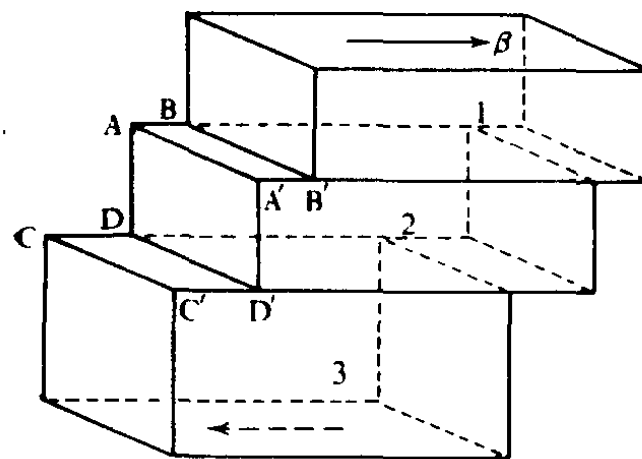
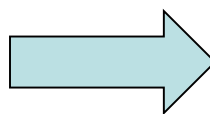
Дислокации

Дислокации были придуманы для объяснения пластической деформации кристаллов.

Скольжение – это трансляция одной части кристалла по отношению к другой без изменения объёма. Трансляция происходит по определенной плоскости (*плоскость скольжения*) и в определенном кристаллографическом направлении (*направление скольжения*).



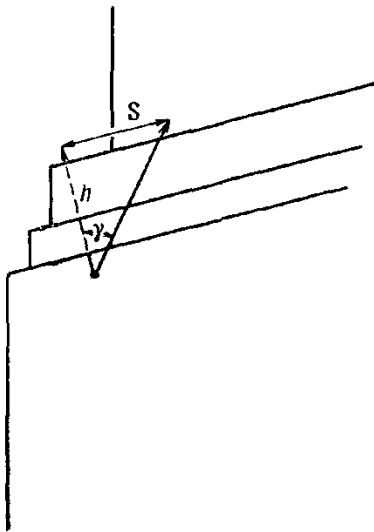
до деформации



после деформации

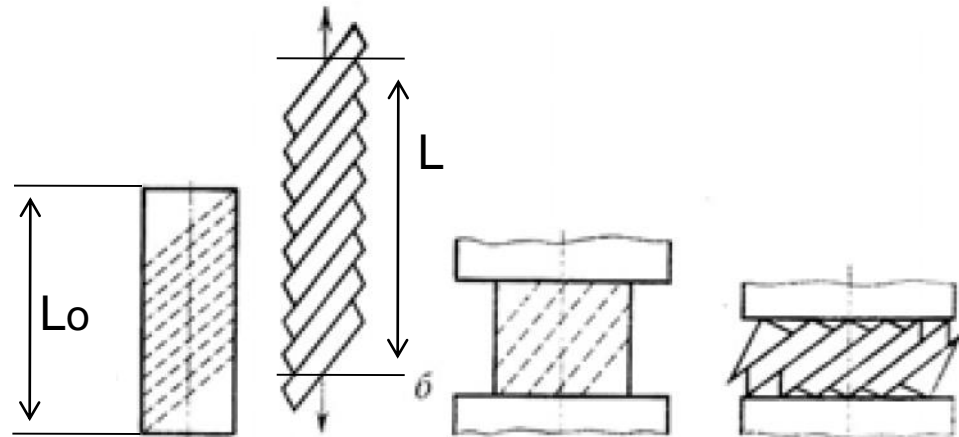
Деформация

Скольжение обеспечивает деформации сдвига, растяжения и сжатия.



$$\gamma = \frac{S}{h} = \operatorname{tg} \alpha$$

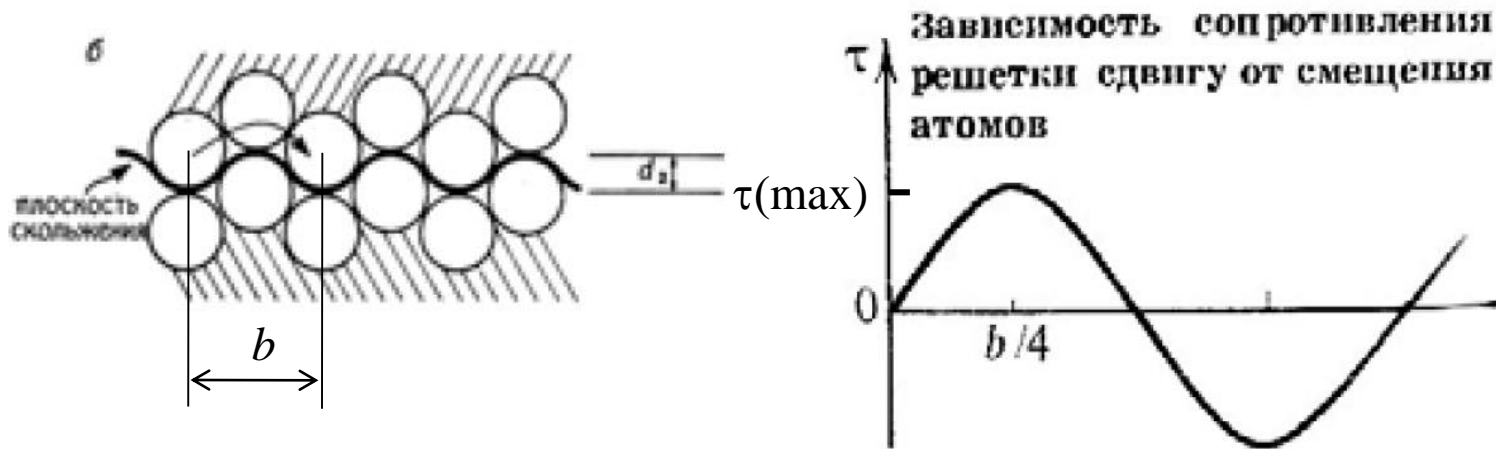
деформация сдвига



$$\varepsilon = \frac{L - L_0}{L_0}$$

деформация
растяжения, сжатия

Оценка критического напряжения для скольжения (Френкель)



$$\tau = \tau(\max) \cdot \sin(2\pi x/b), \text{ а при малых } x$$

$$\tau = \tau(\max) \cdot 2\pi x/b$$

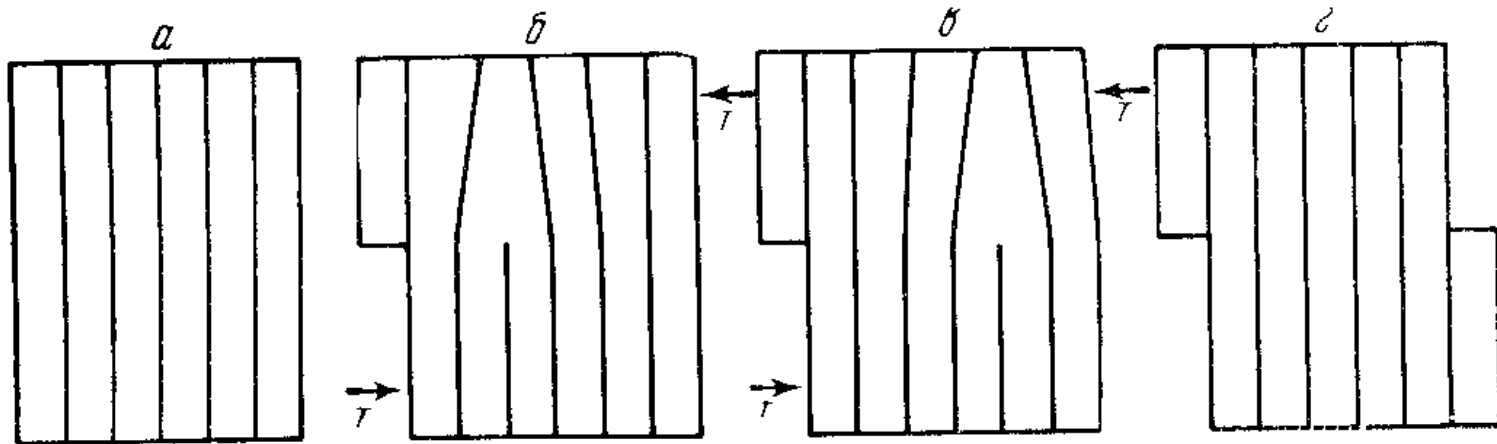
$\tau = G \cdot x/b$ – закон Гука, G – модуль сдвига, x/b – деформация.

$$\tau(\max) \cdot 2\pi x/b = G \cdot x/b,$$

$$\tau(\max) = G/2\pi$$

Экспериментальные значения $\tau(\max)$ в $10^4 - 10^5$ раз меньше.

Дислокации



Краевая дислокация - Поляни, Орован, Тейлор – 1934 г.

Винтовая дислокация – Бюргерс -1939 г.

Дислокация – линейное несовершенство решётки, являющееся границей зоны сдвига.

Аналогии:

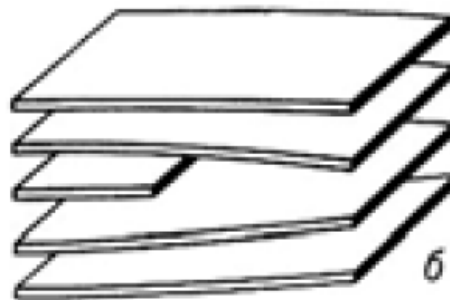
- 1) Складка на ковре
- 2) Движение гусеницы

Расположение атомных плоскостей

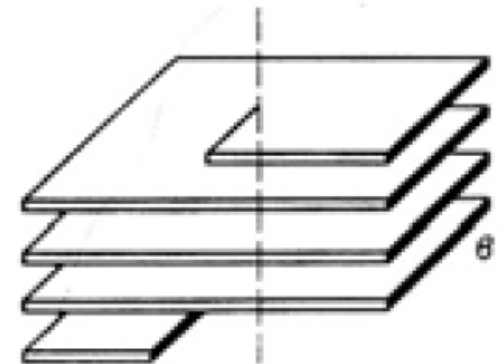
В идеальном кристалле



В кристалле с краевой дислокацией

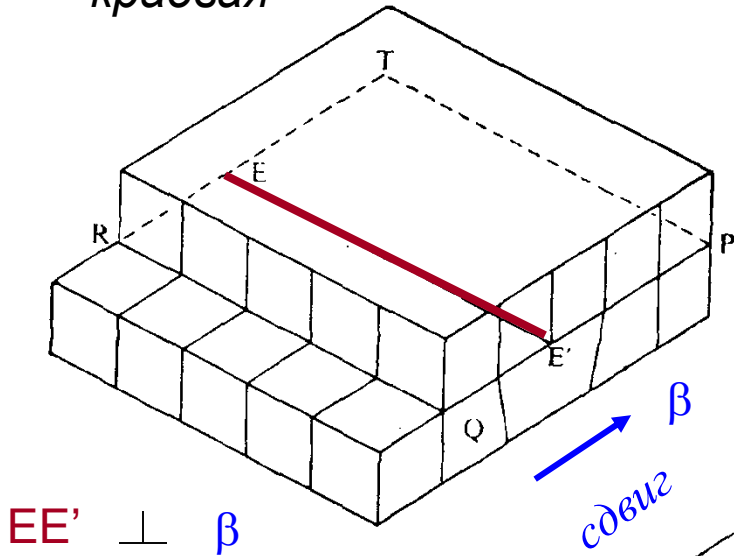


В кристалле с винтовой дислокацией

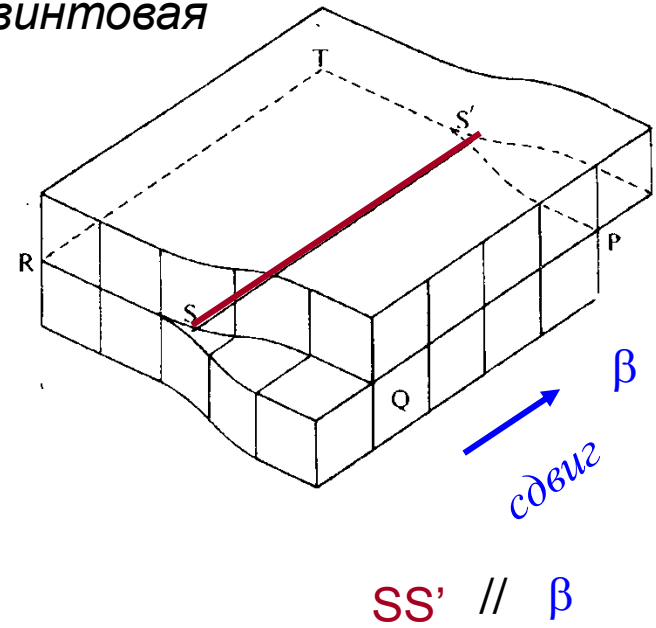


Дислокации

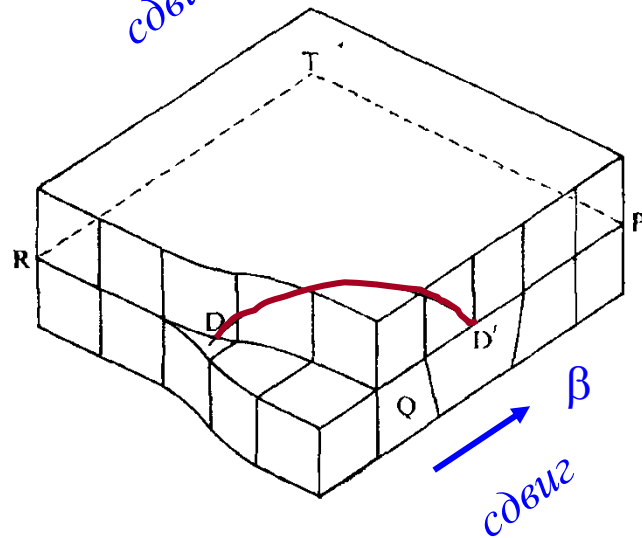
краевая

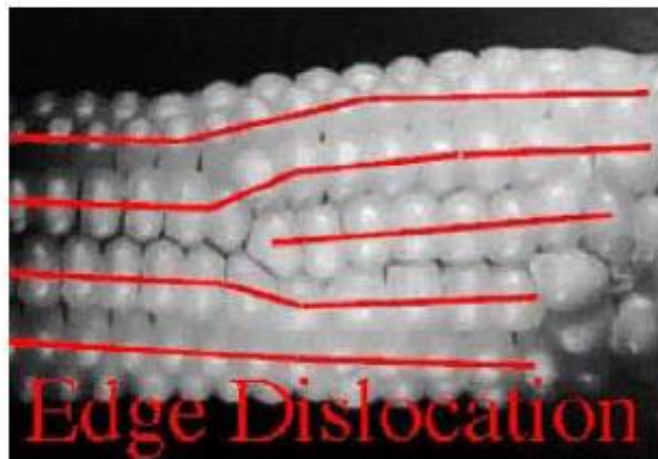
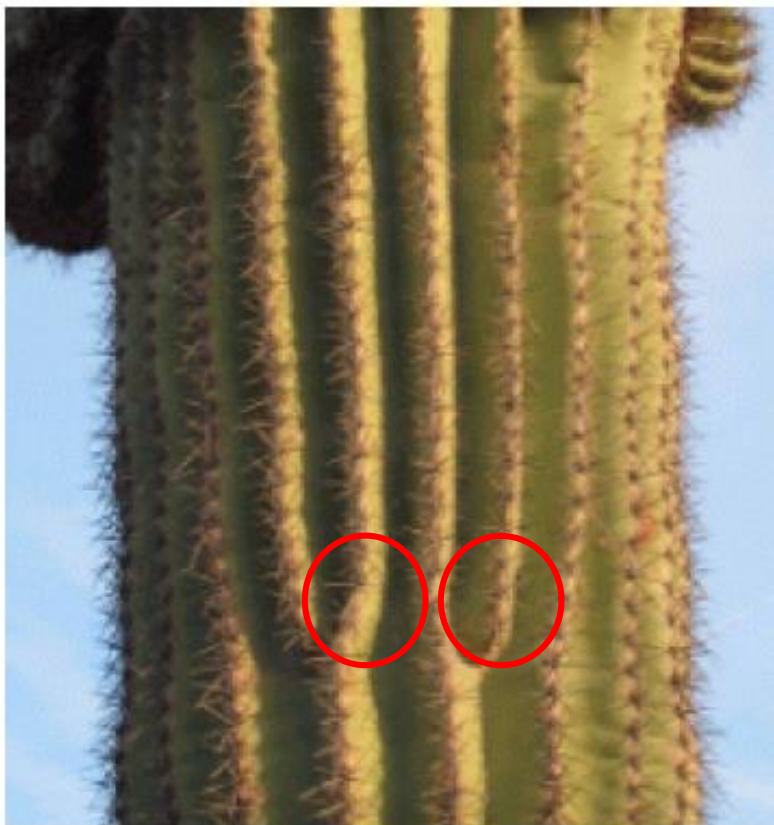


винтовая



смешанная

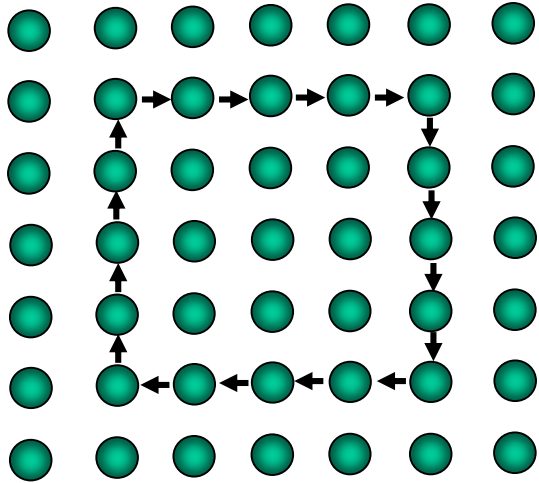




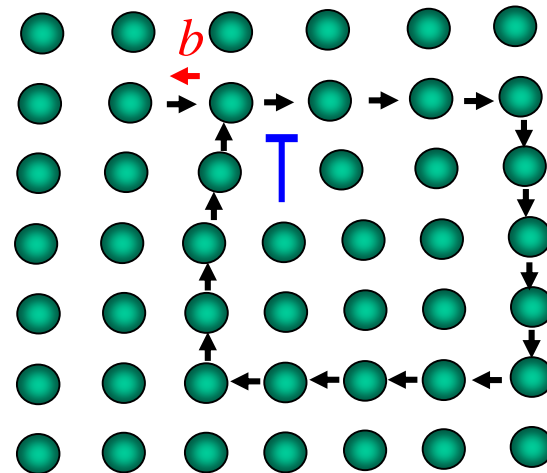
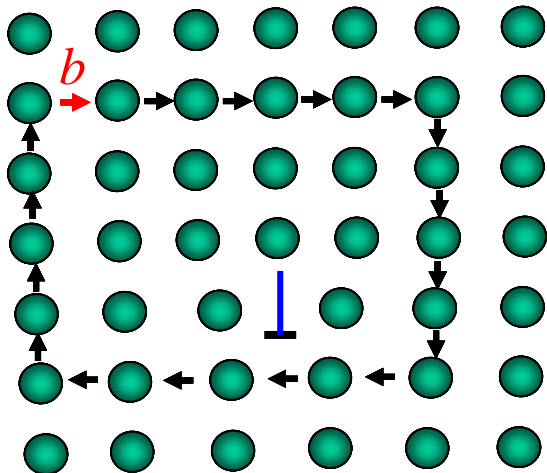
Контур Бюргерса

Контур Бюргерса – контур, построенный в реальном кристалле путём последовательного обхода дефекта от атома к атому в совершенной области кристалла, совершая одинаковое число шагов в противоположных направлениях. В идеальном кристалле контур Бюргерса всегда замкнут.

Дислокация – несовершенство кристаллической решётки разрывающее контур Бюргерса.



Вектор Бюргерса – вектор, соединяющий конечную и начальную точки контура Бюргерса. Вектор Бюргерса определяет меру искаженности кристаллической решётки, обусловленную присутствием в кристалле дислокации.



Контрольные вопросы:

1. Температурная зависимость ионной проводимости кристаллов NaCl, допированных CaCl₂.
2. Влияние примесных атомов на ионную проводимость в AgCl. Эффект Коха-Вагнера.
3. Факторы, определяющие подвижность ионов.
4. Твёрдые электролиты. Основные причины высокой ионной подвижности в твёрдых электролитах.
5. Что такое дислокация? Какие типы дислокаций Вы знаете?
6. Какими векторами определяется дислокация? Что такое контур и вектор Бюргерса? Дислокации разных знаков.